

## 連続構造の最適化について

八戸工業大学 正会員 長谷川 明

### 1. はじめに

連続構造の形状最適化については多くの研究がなされているが、本論は連続構造の形状最適化が骨組構造の最適部材配置に結びつくものと考え、2, 3の検討を行なったものである。

### 2. 最適化手法

使用した方法は、特に数理計画的な手法を用いないもので有限要素法によって得られる各要素の主応力から相当応力 $\bar{\sigma}_i$ を求め、これを基準となる相当応力（基準応力 $\bar{\sigma}_0$ ）に近づける試行を繰り返す方法である。この方法の流れ図をFig. 1に示す。

#### a) 相当応力 $\bar{\sigma}_i$ について

要素の相当応力 $\bar{\sigma}_i$ を有限要素解析で得られる主応力を用いて、金属材料に合う Von Mises の降伏条件から次式によって求めた。

$$\bar{\sigma}_i = \sqrt{\frac{1}{2} \left\{ (\sigma_1 - \sigma_2)^2 + (\sigma_2 - \sigma_3)^2 + (\sigma_3 - \sigma_1)^2 \right\}}^{1/2} \quad (1)$$

ここで、 $\sigma_1, \sigma_2, \sigma_3$  は要素  $i$  の主応力である。

#### b) 形状改訂について

形状最適化は各節点の座標  $x_j, y_j$  を次式によって改訂する。

$$x'_j = \eta (x_j - x_m) + x_m, \quad y'_j = \eta (y_j - y_m) + y_m \quad (2)$$

添字'は改訂後を意味し、 $(x_m, y_m)$  は要素の図心位置、 $\eta$  は拡大、縮小率である。

この時、要素の面積  $A_i$  は

$$A'_i = \eta^2 A_i \quad (3)$$

となり、また、 $D$  を応力ひずみマトリックス、 $B$  を変位ひずみマトリックス、 $\sigma_i, \Delta_i$  をそれぞれ応力ベクトル、変位ベクトルとすると、 $\sigma_i = D \cdot B \cdot \Delta_i$  から  $\sigma'_i = D' \cdot B' \cdot \Delta'_i$  となる。ここで  $D' = D$  であり、 $B' = 1/\eta B$  と計算され、さらに  $\Delta'_i = \Delta_i$  と考えると

$$\sigma'_i = D \cdot 1/\eta \cdot B \cdot \Delta_i = 1/\eta \cdot \sigma_i \quad (4)$$

となる。そこで  $\bar{\sigma}_i = \bar{\sigma}_0$ （基準応力）とするためには、 $\eta = \bar{\sigma}_i / \bar{\sigma}_0$  とすればよいことになる。この(2)式による作業を各要素に対して行なうと節点をとり囲む要素からそれぞれ異なる新しい節点位置が求まる。このため、これらの新しい節点位置の平均値を改訂された座標として試行を繰り返す。なお、節点によっては、座標が固定されているものもあり、これらに対しては、座標の改訂は行なわない。

### 3. 計算モデル

計算モデルをFig. 2に示す。四方をヒンジで支持された連続構造が等分布荷重を受けている平面ひずみ問題である。寸法は高さ 4.0 m 幅 1.0 m で奥行き 1 m とし、材料定数はヤング率  $E = 2.1 \times 10^6 \text{ kg/cm}^2$ 、ポアソン比  $\nu = 0.3$  とした。また荷重は  $1 \text{ t/m}^2$  としており対称性から左半分を解析した。さらにFig. 2 で●印節点は  $X, Y$  方向とも ○印節点は  $X$  方向だけ節点座標の移動を不可とした。前者は支持点あるいは荷重点のため、後者は対称性のためである。

### 4. 結果

Fig. 3 に  $\bar{\sigma}_0 = 20$  の時、試行回数 1, 5, 10 および 30 回目に得られた形状を描いた。試行回数を重ねるにつれ、相当応力の低い要素の面積が減少し、これに伴い全面積が少なくなっていることがわかる。

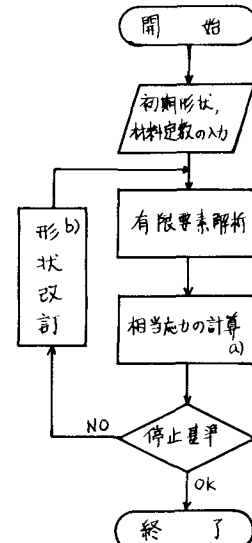


Fig. 1 流れ図

Fig 4 a), b) は、それぞれ  $\bar{\sigma}_0 = 20, 0.5$  とした時の 10 回目の試行で得られた各要素の形状変化を示したものである。改訂前の平均相当応力は 0.15 であり、 $\bar{\sigma}_0 = 20$  は大きく離れているため b) に比べて a) のように急激な形状変更を見せた。また、比較的相当応力の高いヒンジ周辺の要素の形状に違いが見られた。

Fig 5 は  $\bar{\sigma}_0 = 0.5$  の時の試行回数に伴う面積と相当応力の変化を図示したものである。面積は、全面積  $A$ 、任意に選んだ要素 1 の面積  $A_1$ 、要素 40 の面積  $A_{40}$ （位置は Fig 2 に示す）をそれぞれの初期値  $A_0$  との比で示している。また、相当応力は、全要素の相当応力の単純平均、要素 1, 40 の相当応力  $\bar{\sigma}_1, \bar{\sigma}_{40}$  をそれぞれ基準応力  $\bar{\sigma}_0 = 0.5$  との比で示している。これによると全面積は 15 回の試行で初期に比べ 3.5% 少なくなり、この時、平均相当応力は 4.0% 基準応力に近づいている。しかし所定の値に対しては 4.2% に過ぎない。要素 1 は初期値ですべて基準応力に近いため、あまり変動せず、これに対し、要素 40 は全面積あるいは平均相当応力と同様の変化を示した。

## 5.まとめ

形状最適化はわずかながら進められたが 1) 平均相当応力の改善が遅い、2) 試行を繰り返すにつれ、要素面積がばらつき、要素形状がいびつになる、3) 節点移動に関し  $\chi_i$  による  $\bar{\sigma}_i$  の変化率が考慮されているか、等問題がある。今後、これらを検討し研究を進めたいと考えている。なお計算には東北大大学大型計算機センターを利用した。

## 〈参考文献〉

- 1) 尾田十八、有限要素法による強度的最適設計の研究、日本機械学会講演論文集、740-2, 1974
- 2) 改修屋種修、構造物の形状の最適化に関する研究、東北大大学院修士論文、1976

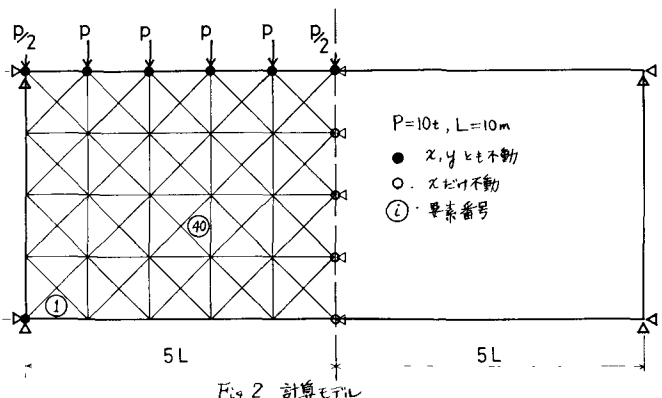


Fig 2 計算モデル

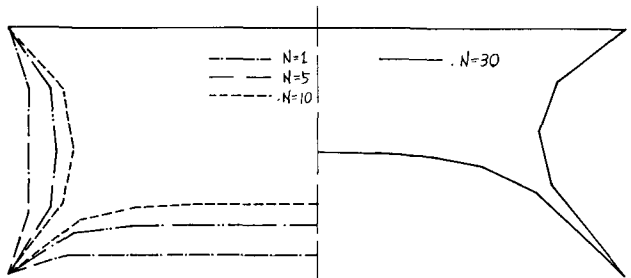
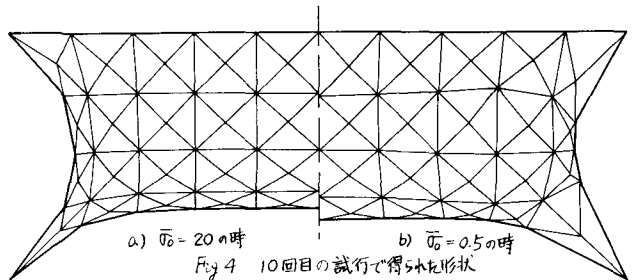


Fig 3 形状改訂の状況 ( $\bar{\sigma}_0 = 20, N$  試行回数)



a)  $\bar{\sigma}_0 = 20$  の時 b)  $\bar{\sigma}_0 = 0.5$  の時  
Fig 4 10回目の試行で得られた形状

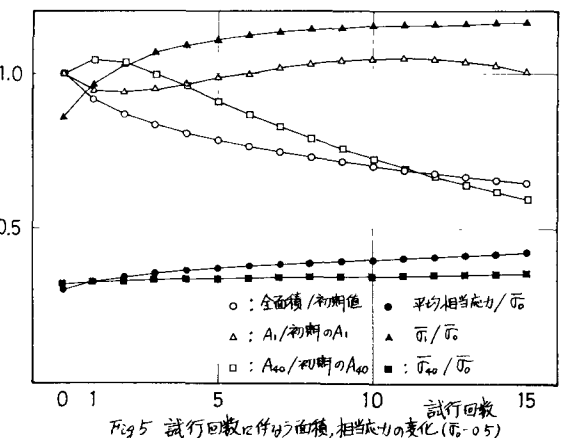


Fig 5 試行回数に対する面積、相当応力の変化 ( $\bar{\sigma}_0 = 0.5$ )